

Ein und Ausgabe:
Farbmetrisches Drucker-Reflektiv-System ORS20_95aM

Daten für jede Farbe:

$lab^{*}ich^{*}$ und $lab^{*}icu^{*}$

Elementar-Bunttonext:

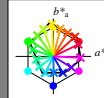
$u^{*} = 16$ Bunttöne $r00j$, $r25j$, ..., $b75r$

Kontrastreduzierungsfaktor:

$c_R = 0.97$

ORS20_95aM; adaptierte CIELAB-Daten

	$L^{*}-L^{*}_a$	a^{*}_a	b^{*}_a	$C^{*}_{ab,a}$	$h^{*}_{ab,a}$
r00j	48.0	66.28	31.58	73.42	25
r25j	51.32	57.52	52.13	77.63	42
r50j	62.67	37.9	62.82	73.37	59
r75j	73.73	18.8	73.24	75.61	76
j00g	86.61	-3.44	85.36	85.43	92
j25g	78.07	-25.81	71.76	76.26	110
j50g	65.83	-41.61	54.69	68.73	127
j75g	54.87	-55.75	39.41	68.28	145
g00b	52.54	-54.18	17.37	56.9	162
g25b	55.02	-44.09	-7.45	44.73	190
g50b	56.98	-36.08	-27.17	45.18	217
g75b	53.92	-20.89	-43.53	48.3	244
b00r	41.64	1.31	-43.31	43.34	272
b25r	28.53	25.05	-43.07	49.84	300
b50r	34.77	47.42	-28.92	55.55	329
b75r	48.12	72.21	-3.72	72.31	357



%Umfang

$u^{*}_{rel} = 87$

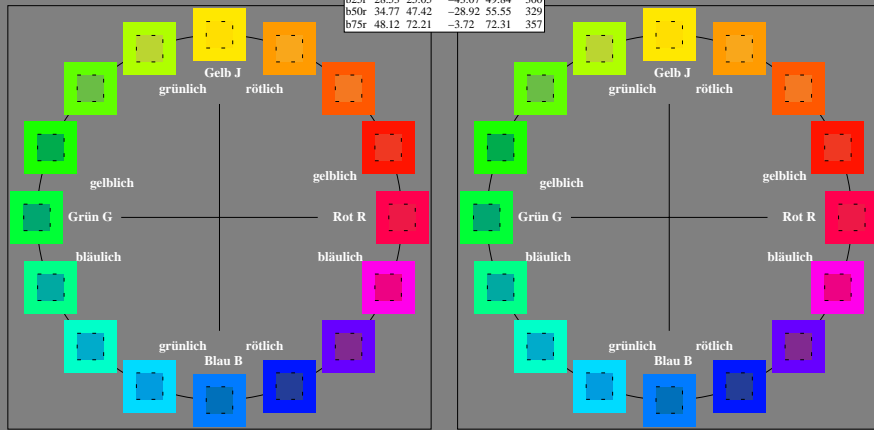
%Regularität

$g^{*}_{H,rel} = 57$

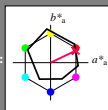
$g^{*}_{C,rel} = 59$

ORS20_95aM; adaptierte CIELAB-Daten

	$L^{*}-L^{*}_a$	a^{*}_a	b^{*}_a	$C^{*}_{ab,a}$	$h^{*}_{ab,a}$
Oma	47.94	63.36	48.95	80.07	38
YMa	90.37	-9.94	88.91	89.46	96
LMa	50.9	-60.88	33.87	69.68	151
CMa	58.62	-29.4	-43.62	52.61	236
VMa	25.72	30.13	-43.02	52.54	305
MMa	48.13	72.95	-8.1	73.39	354
NMa	20.0	0.0	0.0	0.0	0
WMa	95.0	0.0	0.0	0.0	0
RCIE	39.92	58.74	27.99	65.07	25
JCIE	81.26	-2.88	71.56	71.62	92
GCIE	52.23	-42.41	13.6	44.55	162
BCIE	30.57	1.41	-46.46	46.49	272



Ein und Ausgabe: Farbmetrisches Drucker-Reflexiv-System ORS20_95aM für relativen CIELAB-Buntton $h^* = lab^*h^* = h_{ab}/360 = 25/360 = 0.071$ $u^* = r00j$
Daten für jede Farbe:
 lab^*ich^* und lab^*icu^*
Elementar-Bunttontext:
 $u^* = r00j$
Kontrastreduzierungsfaktor:
 $c_R = 0.97$
Dreiecks-Helligkeit t^*



ORS20_95aM; adaptierte CIELAB-Daten					
$L^*=L^*_a$	a^*_a	b^*_a	C^*_{aba}	h^*_{aba}	
O _{Ma}	47.94	63.36	48.95	80.07	38
Y _{Ma}	90.37	-9.94	88.91	89.46	96
L _{Ma}	50.9	-60.88	33.87	69.68	151
C _{Ma}	58.62	-29.4	-43.62	52.61	236
V _{Ma}	25.72	30.13	-43.02	52.54	305
M _{Ma}	48.13	72.95	-8.1	73.39	354
W _{Ma}	20.0	0.0	0.0	0.0	0
R _{CIE}	39.92	58.74	27.99	65.07	25
J _{CIE}	81.26	-2.88	71.56	71.62	92
G _{CIE}	52.23	-42.41	13.6	44.55	162
B _{CIE}	30.57	1.41	-46.46	46.49	272

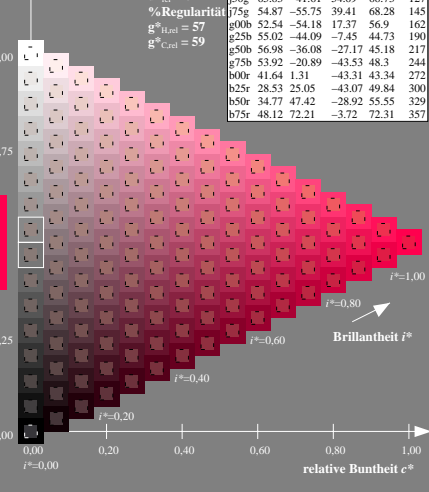
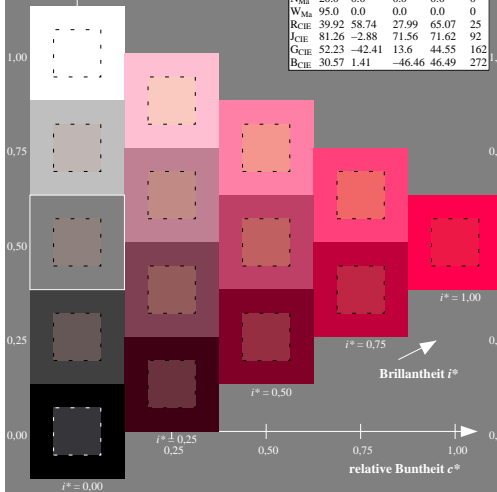
Daten für Maximalfarbe (Ma):

LAB^*LAB^*Ma : 48 66 32
 LAB^*LCH^*Ma : 48 73 25
 lab^*rgb^*Ma : 1.0 0.0 0.0
 lab^*olv^*Ma : 1.0 0.0 0.3

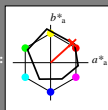
ORS20_95aM; adaptierte CIELAB-Daten					
$L^*=L^*_a$	a^*_a	b^*_a	C^*_{aba}	h^*_{aba}	
r00j	48.0	66.28	31.58	73.42	25
r25j	51.32	57.52	52.13	77.63	42
r50j	62.67	37.9	62.82	73.37	59
r75j	73.73	18.8	73.24	75.61	76
j00g	86.61	-3.44	85.36	85.43	92
j25g	78.07	-25.81	71.76	76.26	110
j50g	65.83	-41.61	54.69	68.73	127
j75g	54.87	-55.75	39.41	68.28	145
g00b	52.54	-54.18	17.37	56.9	162
g25b	55.02	-44.09	-7.45	44.73	190
g50b	56.98	-36.08	-27.17	45.18	217
g75b	53.92	-20.89	-43.53	48.3	244
b00r	41.64	1.31	-43.31	43.34	272
b25r	28.53	25.05	-43.07	49.84	300
b50r	34.77	47.42	-28.92	55.55	329
b75r	48.12	72.21	-3.72	72.31	357

Dreiecks-Helligkeit t^*

%Umfang
 $u^*_{rel} = 87$
%Regularität
 $g^*_{H,rel} = 57$
 $g^*_{C,rel} = 59$



Ein und Ausgabe: Farbmetrisches Drucker-Reflektiv-System ORS20_95aM für relativen CIELAB-Buntton $h^* = lab^*h^* = h_{ab}/360 = 42/360 = 0.117$ $u^* = r25j$
Daten für jede Farbe:
 lab^*ich^* und lab^*icu^*
Elementar-Bunttonkontext:
 $u^* = r25j$
Konstanzreduzierungsfaktor:
 $c_R = 0.97$
Dreiecks-Helligkeit t^*



ORS20_95aM; adaptierte CIELAB-Daten					
$L^*=L^*_a$	a^*_a	b^*_a	C^*_{aba}	h^*_{aba}	
O _{Ma}	47.94	63.36	48.95	80.07	38
Y _{Ma}	90.37	-9.94	88.91	89.46	96
L _{Ma}	50.9	-60.88	33.87	69.68	151
C _{Ma}	58.62	-29.4	-43.62	52.61	236
V _{Ma}	25.72	30.13	-43.02	52.54	305
M _{Ma}	48.13	72.95	-8.1	73.39	354
W _{Ma}	20.0	0.0	0.0	0.0	0
R _{CIE}	39.92	58.74	27.99	65.07	25
J _{CIE}	81.26	-2.88	71.56	71.62	92
G _{CIE}	52.23	-42.41	13.6	44.55	162
B _{CIE}	30.57	1.41	-46.46	46.49	272

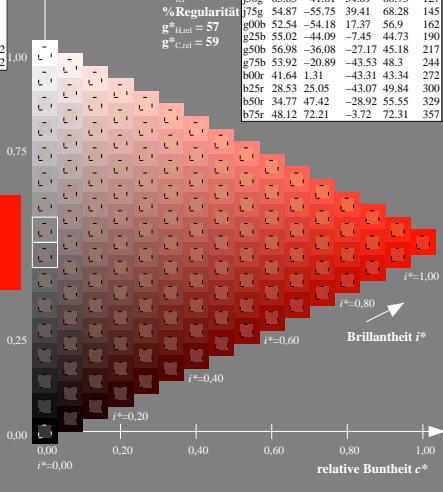
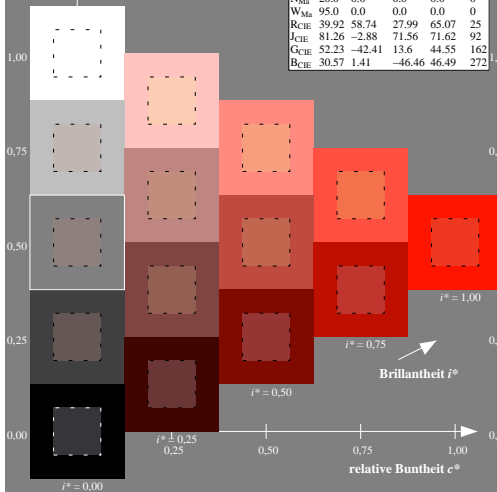
Daten für Maximalfarbe (Ma):

LAB^*LAB^*Ma : 51 58 52
 LAB^*LCH^*Ma : 51 78 42
 lab^*rgb^*Ma : 1.0 0.25 0.0
 lab^*olv^*Ma : 1.0 0.08 0.0

ORS20_95aM; adaptierte CIELAB-Daten					
$L^*=L^*_a$	a^*_a	b^*_a	C^*_{aba}	h^*_{aba}	
r00j	48.0	66.28	31.58	73.42	25
r25j	51.32	57.52	52.13	77.63	42
r50j	62.67	37.9	62.82	73.37	59
r75j	73.73	18.8	73.24	75.61	76
j00g	86.61	-3.44	85.36	85.43	92
j25g	78.07	-25.81	71.76	76.26	110
j50g	65.83	-41.61	54.69	68.73	127
j75g	54.87	-55.75	39.41	68.28	145
g00b	52.54	-54.18	17.37	56.9	162
g25b	55.02	-44.09	-7.45	44.73	190
g50b	56.98	-36.08	-27.17	45.18	217
g75b	53.92	-20.89	-43.53	48.3	244
b00r	41.64	1.31	-43.31	43.34	272
b25r	28.53	25.05	-43.07	49.84	300
b50r	34.77	47.42	-28.92	55.55	329
b75r	48.12	72.21	-3.72	72.31	357

Dreiecks-Helligkeit t^*

%Umfang
 $u^*_{rel} = 87$
%Regularität
 $g^*_{H,rel} = 57$
 $g^*_{C,rel} = 59$



Ein und Ausgabe: Farbmetrisches Drucker-Reflexiv-System ORS20_95aM für relativen CIELAB-Buntton $h^* = lab^*h^* = h_{ab}/360 = 59/360 = 0.164$ $u^* = r50j$

Daten für jede Farbe:

lab^*ich^* und lab^*icu^*

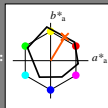
Elementar-Bunttonkontext:

$u^* = r50j$

Konstanzreduzierungsfaktor:

$c_R = 0.97$

Dreiecks-Helligkeit t^*



ORS20_95aM; adaptierte CIELAB-Daten

	$L^*=L^*_a$	a^*_a	b^*_a	C^*_{aba}	h^*_{aba}
O _{Ma}	47.94	63.36	48.95	80.07	38
Y _{Ma}	90.37	-9.94	88.91	89.46	96
L _{Ma}	50.9	-60.88	33.87	69.68	151
C _{Ma}	58.62	-29.4	-43.62	52.61	236
V _{Ma}	25.72	30.13	-43.02	52.54	305
M _{Ma}	48.13	72.95	-8.1	73.39	354
W _{Ma}	20.0	0.0	0.0	0.0	0
R _{CIE}	39.92	58.74	27.99	65.07	25
J _{CIE}	81.26	-2.88	71.56	71.62	92
G _{CIE}	52.23	-42.41	13.6	44.55	162
B _{CIE}	30.57	1.41	-46.46	46.49	272

Daten für Maximalfarbe (Ma):

LAB^*LAB^*Ma : 63 38 63

LAB^*LCH^*Ma : 63 73 59

lab^*rgb^*Ma : 1.0 0.5 0.0

lab^*olv^*Ma : 1.0 0.35 0.0

Dreiecks-Helligkeit t^*

ORS20_95aM; adaptierte CIELAB-Daten

	$L^*=L^*_a$	a^*_a	b^*_a	C^*_{aba}	h^*_{aba}
r00j	48.0	66.28	31.58	73.42	25
r25j	51.32	57.52	52.13	77.63	42
r50j	62.67	37.9	62.82	73.37	59
r75j	73.73	18.8	73.24	75.61	76
j00g	86.61	-3.44	85.36	85.43	92
j25g	78.07	-25.81	71.76	76.26	110
j50g	65.83	-41.61	54.69	68.73	127
j75g	54.87	-55.75	39.41	68.28	145
g00b	52.54	-54.18	17.37	56.9	162
g25b	55.02	-44.09	-7.45	44.73	190
g50b	56.98	-36.08	-27.17	45.18	217
g75b	53.92	-20.89	-43.53	48.3	244
b00r	41.64	1.31	-43.31	43.34	272
b25r	28.53	25.05	-43.07	49.84	300
b50r	34.77	47.42	-28.92	55.55	329
b75r	48.12	72.21	-3.72	72.31	357

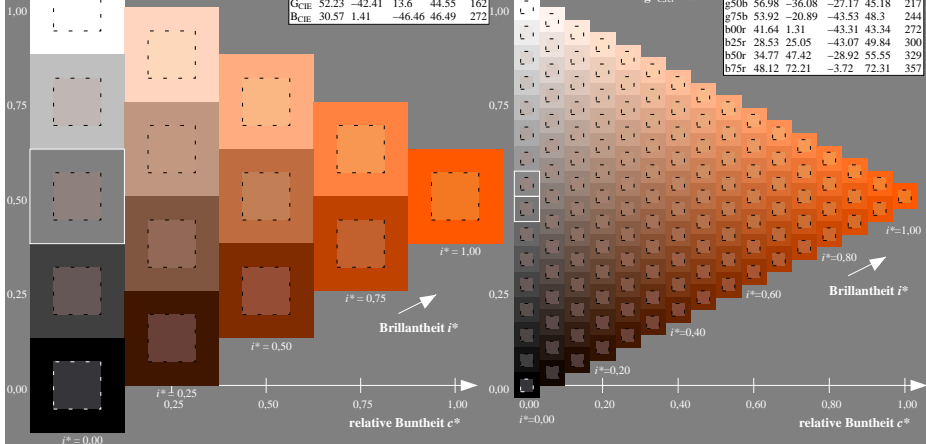
%Umfang

$u^*_{rel} = 87$

%Regularität

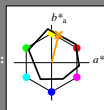
$g^*_{H,rel} = 57$

$g^*_{C,rel} = 59$



Ein und Ausgabe: Farbmetrisches Drucker-Reflektiv-System ORS20_95aM für relative CIELAB-Buntton $h^* = lab^*h^* = h_{ab}/360 = 76/360 = 0.21$ $u^* = r75j$
Daten für jede Farbe:
 lab^*ich^* und lab^*icu^*
Elementar-Bunttontext:

$u^* = r75j$
Konstanzreduzierungsfaktor:
 $c_R = 0.97$
Dreiecks-Helligkeit t^*



ORS20_95aM; adaptierte CIELAB-Daten					
$L^* = L^*_a$	a^*_a	b^*_a	C^*_{aba}	h^*_{aba}	
O _{Ma}	47.94	63.36	48.95	80.07	38
Y _{Ma}	90.37	-9.94	88.91	89.46	96
L _{Ma}	50.9	-60.88	33.87	69.68	151
C _{Ma}	58.62	-29.4	-43.62	52.61	236
V _{Ma}	25.72	30.13	-43.02	52.54	305
M _{Ma}	48.13	72.95	-8.1	73.39	354
W _{Ma}	20.0	0.0	0.0	0.0	0
R _{CIE}	39.92	58.74	27.99	65.07	25
J _{CIE}	81.26	-2.88	71.56	71.62	92
G _{CIE}	52.23	-42.41	13.6	44.55	162
B _{CIE}	30.57	1.41	-46.46	46.49	272

Daten für Maximalfarbe (Ma):

LAB^*LAB^*Ma : 74 19 73

LAB^*LCH^*Ma : 74 76 76

lab^*rgb^*Ma : 1.0 0.75 0.0

lab^*olv^*Ma : 1.0 0.61 0.0

ORS20_95aM; adaptierte CIELAB-Daten					
$L^* = L^*_a$	a^*_a	b^*_a	C^*_{aba}	h^*_{aba}	
r00j	48.0	66.28	31.58	73.42	25
r25j	51.32	57.52	52.13	77.63	42
r50j	62.67	37.9	62.82	73.37	59
r75j	73.73	18.8	73.24	75.61	76
j00g	86.61	-3.44	85.36	85.43	92
j25g	78.07	-25.81	71.76	76.26	110
j50g	65.83	-41.61	54.69	68.73	127
j75g	54.87	-55.75	39.41	68.28	145
g00b	52.54	-54.18	17.37	56.9	162
g25b	55.02	-44.09	-7.45	44.73	190
g50b	56.98	-36.08	-27.17	45.18	217
g75b	53.92	-20.89	-43.53	48.3	244
b00r	41.64	1.31	-43.31	43.34	272
b25r	28.53	25.05	-43.07	49.84	300
b50r	34.77	47.42	-28.92	55.55	329
b75r	48.12	72.21	-3.72	72.31	357

Dreiecks-Helligkeit t^*

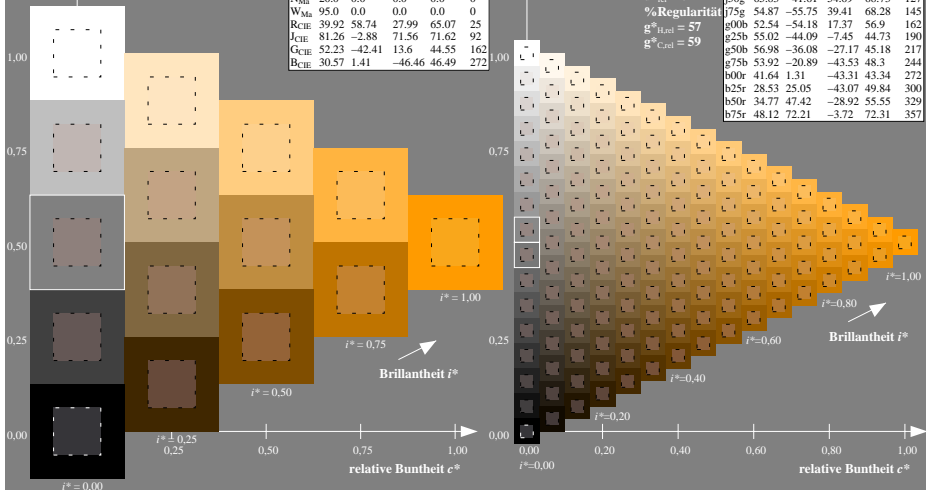
%Umfang

$u^*_{rel} = 87$

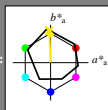
%Regularität

$g^*_{H,rel} = 57$

$g^*_{C,rel} = 59$



Ein und Ausgabe: Farbmetrisches Drucker-Reflexiv-System ORS20_95aM für relativen CIELAB-Buntton $h^* = lab^*h^* = h_{ab}/360 = 92/360 = 0.256$ $u^* = j00g$
Daten für jede Farbe:
 lab^*ich^* und lab^*icu^*
Elementar-Bunttontext:
 $u^* = j00g$
Kontrastreduzierungsfaktor:
 $c_R = 0.97$
Dreiecks-Helligkeit t^*



ORS20_95aM; adaptierte CIELAB-Daten					
$L^* = L^*_a$	a^*_a	b^*_a	C^*_{aba}	h^*_{aba}	
O _{Ma}	47.94	63.36	48.95	80.07	38
Y _{Ma}	90.37	-9.94	88.91	89.46	96
L _{Ma}	50.9	-60.88	33.87	69.68	151
C _{Ma}	58.62	-29.4	-43.62	52.61	236
V _{Ma}	25.72	30.13	-43.02	52.54	305
M _{Ma}	48.13	72.95	-8.1	73.39	354
W _{Ma}	20.0	0.0	0.0	0.0	0
N _{Ma}	95.0	0.0	0.0	0.0	0
R _{CIE}	39.92	58.74	27.99	65.07	25
J _{CIE}	81.26	-2.88	71.56	71.62	92
G _{CIE}	52.23	-42.41	13.6	44.55	162
B _{CIE}	30.57	1.41	-46.46	46.49	272

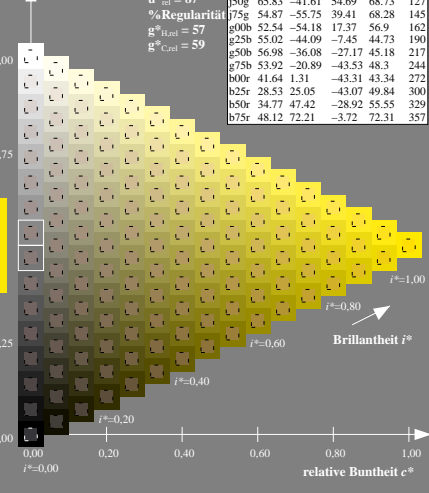
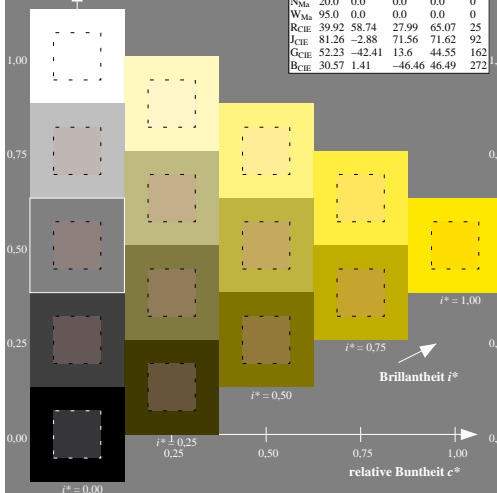
Daten für Maximalfarbe (Ma):

LAB^*LAB^*Ma : 87 -2 85
 LAB^*LCH^*Ma : 87 85 92
 lab^*rgb^*Ma : 1.0 1.0 0.0
 lab^*olv^*Ma : 1.0 0.91 0.0

ORS20_95aM; adaptierte CIELAB-Daten					
$L^* = L^*_a$	a^*_a	b^*_a	C^*_{aba}	h^*_{aba}	
r00j	48.0	66.28	31.58	73.42	25
r25j	51.32	57.52	52.13	77.63	42
r50j	62.67	37.9	62.82	73.37	59
r75j	73.73	18.8	73.24	75.61	76
j00g	86.61	-3.44	85.36	85.43	92
j25g	78.07	-25.81	71.76	76.26	110
j50g	65.83	-41.61	54.69	68.73	127
j75g	54.87	-55.75	39.41	68.28	145
g00b	52.54	-54.18	17.37	56.9	162
g25b	55.02	-44.09	-7.45	44.73	190
g50b	56.98	-36.08	-27.17	45.18	217
g75b	53.92	-20.89	-43.53	48.3	244
b00r	41.64	1.31	-43.31	43.34	272
b25r	28.53	25.05	-43.07	49.84	300
b50r	34.77	47.42	-28.92	55.55	329
b75r	48.12	72.21	-3.72	72.31	357

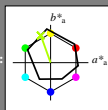
Dreiecks-Helligkeit t^*

%Umfang
 $u^*_{rel} = 87$
%Regularität
 $g^*_{H,rel} = 57$
 $g^*_{C,rel} = 59$



Ein und Ausgabe: Farbmetrisches Drucker-Reflexiv-System ORS20_95aM für relativen CIELAB-Buntton $h^* = lab^*h^* = h_{ab}/360 = 110/360 = 0.305 u^* = j25g$
Daten für jede Farbe:
 lab^*ich^* und lab^*icu^*
Elementar-Bunttontext:

$u^* = j25g$
Kontrastreduzierungsfaktor:
 $c_R = 0.97$
Dreiecks-Helligkeit t^*



ORS20_95aM; adaptierte CIELAB-Daten					
$L^* = L^*_a$	a^*_a	b^*_a	C^*_{aba}	h^*_{aba}	
O _{Ma}	47.94	63.36	48.95	80.07	38
Y _{Ma}	90.37	-9.94	88.91	89.46	96
L _{Ma}	50.9	-60.88	33.87	69.68	151
C _{Ma}	58.62	-29.4	-43.62	52.61	236
V _{Ma}	25.72	30.13	-43.02	52.54	305
M _{Ma}	48.13	72.95	-8.1	73.39	354
W _{Ma}	20.0	0.0	0.0	0.0	0
R _{CIE}	39.92	58.74	27.99	65.07	25
J _{CIE}	81.26	-2.88	71.56	71.62	92
G _{CIE}	52.23	-42.41	13.6	44.55	162
B _{CIE}	30.57	1.41	-46.46	46.49	272

Daten für Maximalfarbe (Ma):

LAB^*LAB^*Ma : 78 -25 72

LAB^*LCH^*Ma : 78 76 110

lab^*rgb^*Ma : 0.75 1.0 0.0

lab^*olv^*Ma : 0.69 1.0 0.0

ORS20_95aM; adaptierte CIELAB-Daten					
$L^* = L^*_a$	a^*_a	b^*_a	C^*_{aba}	h^*_{aba}	
r00j	48.0	66.28	31.58	73.42	25
r25j	51.32	57.52	52.13	77.63	42
r50j	62.67	37.9	62.82	73.37	59
r75j	73.73	18.8	73.24	75.61	76
j00g	86.61	-3.44	85.36	85.43	92
j25g	78.07	-25.81	71.76	76.26	110
j50g	65.83	-41.61	54.69	68.73	127
j75g	54.87	-55.75	39.41	68.28	145
g00b	52.54	-54.18	17.37	56.9	162
g25b	55.02	-44.09	-7.45	44.73	190
g50b	56.98	-36.08	-27.17	45.18	217
g75b	53.92	-20.89	-43.53	48.3	244
b00r	41.64	1.31	-43.31	43.34	272
b25r	28.53	25.05	-43.07	49.84	300
b50r	34.77	47.42	-28.92	55.55	329
b75r	48.12	72.21	-3.72	72.31	357

Dreiecks-Helligkeit t^*

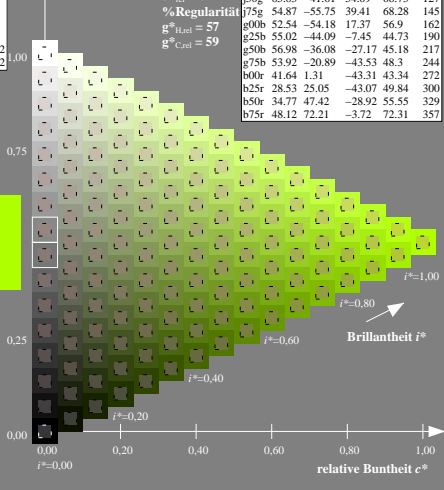
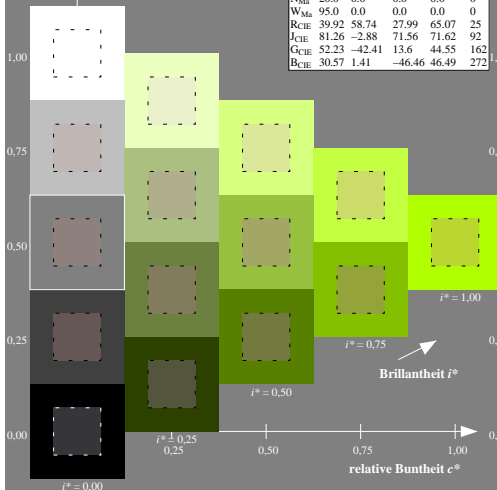
%Umfang

$u^*_{rel} = 87$

%Regularität

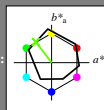
$g^*_{H,rel} = 57$

$g^*_{C,rel} = 59$



Ein und Ausgabe: Farbmetrisches Drucker-Reflexiv-System ORS20_95aM für relativen CIELAB-Buntton $h^* = lab^*h^* = h_{ab}/360 = 127/360 = 0.354 u^* = j50g$
Daten für jede Farbe:
 lab^*ich^* und lab^*icu^*
Elementar-Bunttontext:

$u^* = j50g$
Kontrastreduzierungsfaktor:
 $c_R = 0.97$
Dreiecks-Helligkeit t^*



ORS20_95aM; adaptierte CIELAB-Daten					
$L^* = L^*_a$	a^*_a	b^*_a	C^*_{aba}	h^*_{aba}	
O _{Ma}	47.94	63.36	48.95	80.07	38
Y _{Ma}	90.37	-9.94	88.91	89.46	96
L _{Ma}	50.9	-60.88	33.87	69.68	151
C _{Ma}	58.62	-29.4	-43.62	52.61	236
V _{Ma}	25.72	30.13	-43.02	52.54	305
M _{Ma}	48.13	72.95	-8.1	73.39	354
W _{Ma}	20.0	0.0	0.0	0.0	0
R _{CIE}	39.92	58.74	27.99	65.07	25
J _{CIE}	81.26	-2.88	71.56	71.62	92
G _{CIE}	52.23	-42.41	13.6	44.55	162
B _{CIE}	30.57	1.41	-46.46	46.49	272

Daten für Maximalfarbe (Ma):

LAB^*LAB^*Ma : 66 -41 55
 LAB^*LCH^*Ma : 66 69 127
 lab^*rgb^*Ma : 0.5 1.0 0.0
 lab^*olv^*Ma : 0.38 1.0 0.0

ORS20_95aM; adaptierte CIELAB-Daten					
$L^* = L^*_a$	a^*_a	b^*_a	C^*_{aba}	h^*_{aba}	
r00j	48.0	66.28	31.58	73.42	25
r25j	51.32	57.52	52.13	77.63	42
r50j	62.67	37.9	62.82	73.37	59
r75j	73.73	18.8	73.24	75.61	76
j00g	86.61	-3.44	85.36	85.43	92
j25g	78.07	-25.81	71.76	76.26	110
j50g	65.83	-41.61	54.69	68.73	127
j75g	54.87	-55.75	39.41	68.28	145
g00b	52.54	-54.18	17.37	56.9	162
g25b	55.02	-44.09	-7.45	44.73	190
g50b	56.98	-36.08	-27.17	45.18	217
g75b	53.92	-20.89	-43.53	48.3	244
b00r	41.64	1.31	-43.31	43.34	272
b25r	28.53	25.05	-43.07	49.84	300
b50r	34.77	47.42	-28.92	55.55	329
b75r	48.12	72.21	-3.72	72.31	357

Dreiecks-Helligkeit t^*

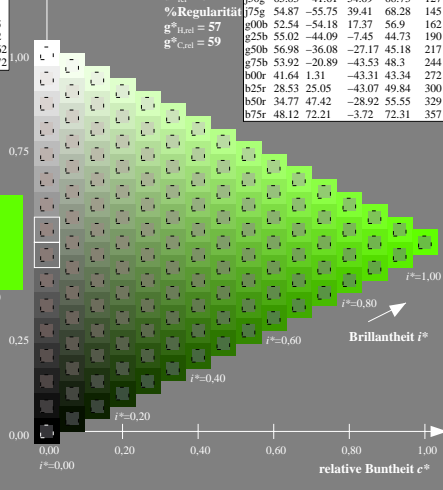
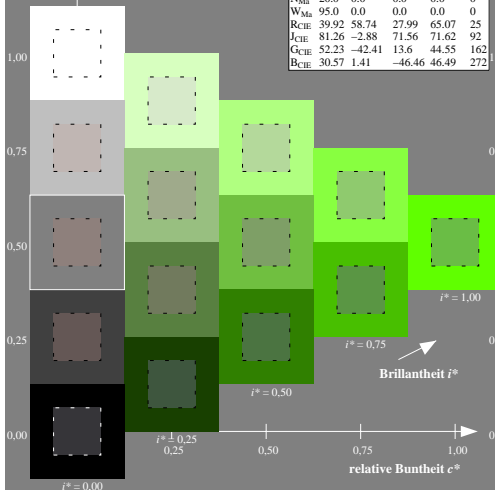
%Umfang

$u^*_{rel} = 87$

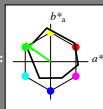
%Regularität

$g^*_{H,rel} = 57$

$g^*_{C,rel} = 59$



Ein und Ausgabe: Farbmetrisches Drucker-Reflexiv-System ORS20_95aM für relativen CIELAB-Buntton $h^* = lab^*h^* = h_{ab}/360 = 145/360 = 0.402 u^* = j75g$
Daten für jede Farbe:
 lab^*ich^* und lab^*icu^*
Elementar-Bunttontext:
 $u^* = j75g$
Kontrastreduzierungsfaktor:
 $c_R = 0.97$
Dreiecks-Helligkeit t^*



ORS20_95aM; adaptierte CIELAB-Daten					
$L^* = L^*_a$	a^*_a	b^*_a	C^*_{aba}	h^*_{aba}	
O _{Ma}	47.94	63.36	48.95	80.07	38
Y _{Ma}	90.37	-9.94	88.91	89.46	96
L _{Ma}	50.9	-60.88	33.87	69.68	151
C _{Ma}	58.62	-29.4	-43.62	52.61	236
V _{Ma}	25.72	30.13	-43.02	52.54	305
M _{Ma}	48.13	72.95	-8.1	73.39	354
W _{Ma}	20.0	0.0	0.0	0.0	0
R _{CIE}	39.92	58.74	27.99	65.07	25
J _{CIE}	81.26	-2.88	71.56	71.62	92
G _{CIE}	52.23	-42.41	13.6	44.55	162
B _{CIE}	30.57	1.41	-46.46	46.49	272

Daten für Maximalfarbe (Ma):

LAB^*LAB^*Ma : 55 -55 39
 LAB^*LCH^*Ma : 55 68 145
 lab^*rgb^*Ma : 0.25 1.0 0.0
 lab^*olv^*Ma : 0.1 1.0 0.0

ORS20_95aM; adaptierte CIELAB-Daten					
$L^* = L^*_a$	a^*_a	b^*_a	C^*_{aba}	h^*_{aba}	
r00j	48.0	66.28	31.58	73.42	25
r25j	51.32	57.52	52.13	77.63	42
r50j	62.67	37.9	62.82	73.37	59
r75j	73.73	18.8	73.24	75.61	76
j00g	86.61	-3.44	85.36	85.43	92
j25g	78.07	-25.81	71.76	76.26	110
j50g	65.83	-41.61	54.69	68.73	127
j75g	54.87	-55.75	39.41	68.28	145
g00b	52.54	-54.18	17.37	56.9	162
g25b	55.02	-44.09	-7.45	44.73	190
g50b	56.98	-36.08	-27.17	45.18	217
g75b	53.92	-20.89	-43.53	48.3	244
b00r	41.64	1.31	-43.31	43.34	272
b25r	28.53	25.05	-43.07	49.84	300
b50r	34.77	47.42	-28.92	55.55	329
b75r	48.12	72.21	-3.72	72.31	357

Dreiecks-Helligkeit t^*

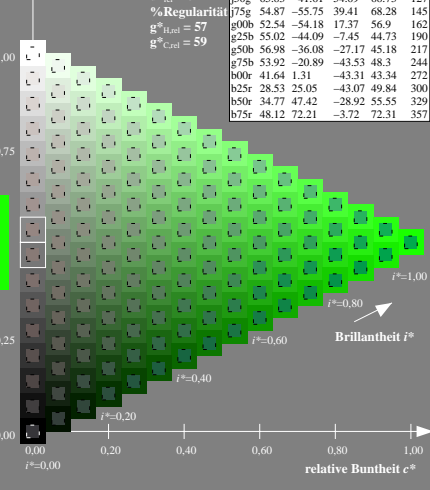
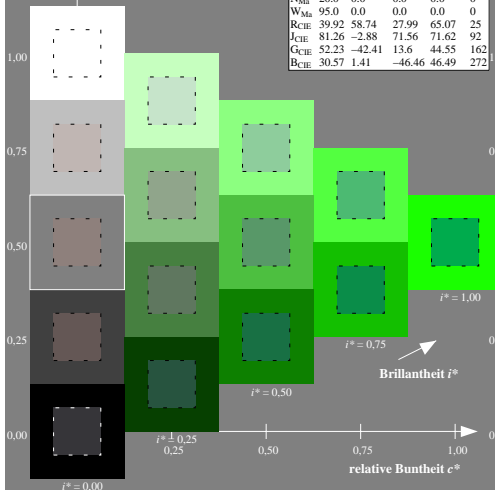
%Umfang

$u^*_{rel} = 87$

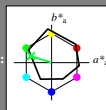
%Regularität

$g^*_{H,rel} = 57$

$g^*_{C,rel} = 59$



Ein und Ausgabe: Farbmetrisches Drucker-Reflexiv-System ORS20_95aM für relativen CIELAB-Buntton $h^* = lab^*h^* = h_{ab}/360 = 162/360 = 0.451 u^* = g00b$
Daten für jede Farbe:
 lab^*ich^* und lab^*icu^*
Elementar-Bunttontext:
 $u^* = g00b$
Kontrastreduzierungsfaktor:
 $c_R = 0.97$
Dreiecks-Helligkeit t^*



ORS20_95aM; adaptierte CIELAB-Daten					
$L^*=L^*_a$	a^*_a	b^*_a	C^*_{aba}	h^*_{aba}	
O _{Ma}	47.94	63.36	48.95	80.07	38
Y _{Ma}	90.37	-9.94	88.91	89.46	96
L _{Ma}	50.9	-60.88	33.87	69.68	151
C _{Ma}	58.62	-29.4	-43.62	52.61	236
V _{Ma}	25.72	30.13	-43.02	52.54	305
M _{Ma}	48.13	72.95	-8.1	73.39	354
N _{Ma}	20.0	0.0	0.0	0.0	0
W _{Ma}	95.0	0.0	0.0	0.0	0
R _{CIE}	39.92	58.74	27.99	65.07	25
J _{CIE}	81.26	-2.88	71.56	71.62	92
G _{CIE}	52.23	-42.41	13.6	44.55	162
B _{CIE}	30.57	1.41	-46.46	46.49	272

Daten für Maximalfarbe (Ma):

LAB^*LAB^*Ma : 53 -53 17
 LAB^*LCH^*Ma : 53 57 162
 lab^*rgb^*Ma : 0.0 1.0 0.0
 lab^*olv^*Ma : 0.0 1.0 0.21

ORS20_95aM; adaptierte CIELAB-Daten					
$L^*=L^*_a$	a^*_a	b^*_a	C^*_{aba}	h^*_{aba}	
r00j	48.0	66.28	31.58	73.42	25
r25j	51.32	57.52	52.13	77.63	42
r50j	62.67	37.9	62.82	73.37	59
r75j	73.73	18.8	73.24	75.61	76
j00g	86.61	-3.44	85.36	85.43	92
j25g	78.07	-25.81	71.76	76.26	110
j50g	65.83	-41.61	54.69	68.73	127
j75g	54.87	-55.75	39.41	68.28	145
g00b	52.54	-54.18	17.37	56.9	162
g25b	55.02	-44.09	-7.45	44.73	190
g50b	56.98	-36.08	-27.17	45.18	217
g75b	53.92	-20.89	-43.53	48.3	244
b00r	41.64	1.31	-43.31	43.34	272
b25r	28.53	25.05	-43.07	49.84	300
b50r	34.77	47.42	-28.92	55.55	329
b75r	48.12	72.21	-3.72	72.31	357

Dreiecks-Helligkeit t^*

%Umfang
 $u^*_{rel} = 87$
%Regularität
 $g^*_{H,rel} = 57$
 $g^*_{C,rel} = 59$

